

# 창립

40주년 학술대회

논문 87-D-20-1

대용 향유도 전동기 기동 시의 비상용 디젤발전기 동특성 해석

한 풍

조 성 돈

한국전력기술주식회사

## Dynamic Analysis of Diesel Generators on Starting Large Induction Motors

Poong Han

Sung - Don Cho

KOREA POWER ENGINEERING COMPANY, INC.

### ABSTRACTS

It is important to evaluate the voltage characteristics of diesel generator as an emergency power supply in nuclear power plant. On loss of offsite power sources, emergency safeguard loads required to safely shutdown the reactor should be supplied by diesel generator. This paper presents the dynamic stability program to evaluate diesel generator performance as an emergency power system. The results indicate the diesel generator ability to start the motors successfully seems to lie in its impedances and inertias.

### 1. 서 론

원자력 발전소의 원자로 안전정지와 관련된 공학적 안전설비 개통에 전력을 공급하는 1급 안전급 (Class 1E) 전기 계통은 신뢰성을 높이기 위해 일반적으로 두 개의 독립된 계통으로 구성되어 있으며, 각각의 계통은 독립된 외부 전원(Offsite Power)으로부터 전력을 공급 받게 되어 있다.

두 외부 전원으로부터의 전력 공급이 중단될 경우 1급 안전급 전기 계통은 비상용 디젤발전기에 의해 서만 전력을 공급 받게 되므로, 비상용 디젤발전기 계통은 높은 신뢰성, 고속 기동능력, 대용 향유도 전동기 기동 시의 전압유지능력 및 계속적인 운전 가능성 등의 여러 관점에서 면밀히 검토되어야 한다.

본고에서는 비상시 여러 대의 대용 향유도를 순차적으로 기동 시켜야 하는 디젤발전기의 전압유지능력 및 전동기 기동 가능성 등을 분석·평가하기 위하여 개발한 동태안정도(Dynamic Stability) 프로그램을 이용하여 모의 계통을 대상으로 제정수가 각각 다른 3대의 디젤발전기 동특성을 분석한 내용을 소개하고자 한다.

### 2. 동태안정도 프로그램의 구성

#### 2.1 발전기 모델링

디젤발전기(돌격 형 동기발전기) 모델은 전동기 기동 시의 큰 무로 전류와 여자기 계통의 자속 강제작용(Flux forcing action) 사이의 상호 작용에 의한 발전기 자속변화를 고려하여 직속성분(d-axis)에 대해서는 과도상태와 초기과도상태로, 횡속성분(q-axis)에 대해서는 초기과도상태로 표현하였으며, 발전기에서 전동기로의 전력 전달에 영향을 주는 발전기 내부 전압변화를 고려하여 발전기 자기포화 특성도 발전기 모델에 포함시켰다. 그림 1은 발전기 모델의 블록선도이며, 모의 계통에 적용된 각 발전기의 제정수는 표 1과 같다.

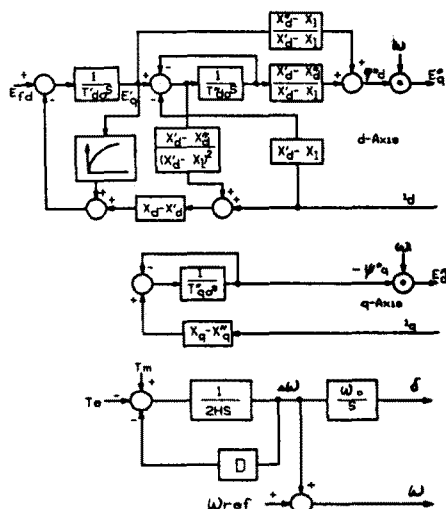


그림 1. 디젤발전기의 전자기 및 기계모델 블록선도

## 대용량 유도전동기 기동시의 비상용 디젤발전기 동특성 해석

표 1. 발전기의 제정수

	발전기 A	발전기 B	발전기 C
$X_d$	1.128	1.2	1.4
$X_q$	0.656	1.236	1.236
$X_d'$	0.136	0.228	0.304
$X_q'$	0.084	0.32	0.32
$X_d''$	0.084	0.32	0.32
$X_q''$	0.052	0.116	0.116
$R_a$	0.01	0.01	0.01
$T_{d0}$	4.08	4.34	4.34
$T_{q0}$	0.08	0.03	0.03
$T_{d0}''$	0.39	0.034	0.034
$H$	2.5	1.625	1.2
D	0.5	0.5	0.5
* S1.0	0.08	0.08	0.08
** S1.2	0.28	0.28	0.28
MVA	..	..	4.

\* 정격전압에서의 조작계수

\*\* 120% 전압에서의 조작계수

\*\*\* 각 정수는 발전기 MVA 기준 단위별로 표시되었음.

### 2.2 여자기 계통 및 조속기 계통 모델링

여자기 계통은 그림2의 단순모델 (Simplified Exciter System)<sup>3) 4)</sup>을 사용하였으며, 조속기 계통은 그림3의 Woodward Type 디젤조속기 모델<sup>3)</sup>을 사용하였다. 각 발전기에 사용된 여자기 계통 및 조속기 계통의 특성은 동일한 것으로 간주하였다.

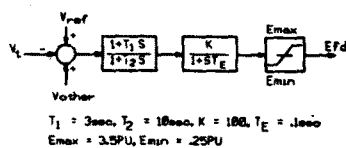
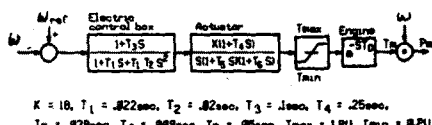


그림2. 여자기 계통 모델 블록선도



### 2.3 유도전동기 모델링

대용량 유도전동기의 경우 기동특성을 계산하기 위해 일반적으로 회전자를 2층 능형으로 제작하고 있으며, 이의 등가회로는 그림 4(위)와 같다.<sup>2)</sup> 그림4(위)의 등가회로는 다시 그림4(아래)의 등가회로로 간략하게 나타낼 수 있으며, 여기서  $Req$  및  $Xeq$ 는 회전자의 제정수와 슬립(S)의 함수이다.

과도상태에서의 전동기 토크( $T_e$ )와 전동기부하 토크( $T_m$ )는 각각 그림4(아래)의 등가회로로부터 작성된 식1의 전동기 토크와 방정식과, 제작자가 제시하는 전동기부하 특성곡선(그림5)으로부터 작성된 식2의 부하 토크 방정식에 의해 계산되어진다. 전동기는 공급전원의 전압 및 전동기 회전속도( $w=1-S$ )에 의해 결정되는 전동기 토크와 전동기 회전속도에 의해 결정되는 부하 토크와의 차에 비례하여, 그리고 전동기와 전동기부하의 관성 정수의 합(H)에 반비례하여 가속하게 된다.

이러한 전동기의 가속을 수식으로 나타내면 식3과 같다.

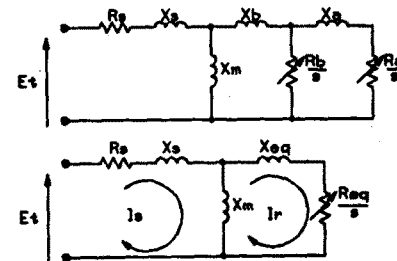
$$T_e = X_m(Re(Is) \cdot Im(Ir) - Im(Is) \cdot Re(Ir)) \dots \text{식1}$$

$$T_m = A + BW + CW^2 \dots \text{식2}$$

$$\frac{dw}{dt} = \frac{1}{2H} (T_e - T_m) \dots \text{식3}$$

모의 계통에 사용된 전동기 1, 2, 3의 제정수는 그림 4와 같고, 식2의 부하 토크 계수 A, B, C는 각각 0.05, -13, 1.09로 설정하였다.

식1, 식2, 식3에 의해 구해진 전동기의 정격전압에서의 기동곡선은 그림6과 같다.



Resistor:  $R_s = 0.15$ , Inductance:  $X_s = 4.5$ , Resistance:  $R_a = 0.15$ , Inductance:  $X_a = 0.99$ ,  $R_b = 0.05$ ,  $X_b = 0.07$ ,  $H = 0.65$  on Motor MVA base, Motor 1=1.1MVA, Motor 2=0.9MVA, Motor 3=0.8MVA

### 2.4 전체계통구성과 계산 알고리즘

앞에서 서술한 각 모델을 종합하여 본 전체계통구성도는 그림7과 같다. 그림7의

External System은 각 전동기의 등가회로 및 전동기와 발전기 간의 케이블 임피던스가 구성요소 이므로, 이를 매 계산 Step마다 발전기 단자에서 본 등가임피던스( $Re + jXe$ )로 계산처리 하므로서 Load Flow 계산을 위한 반복 계산을 생략하였다.

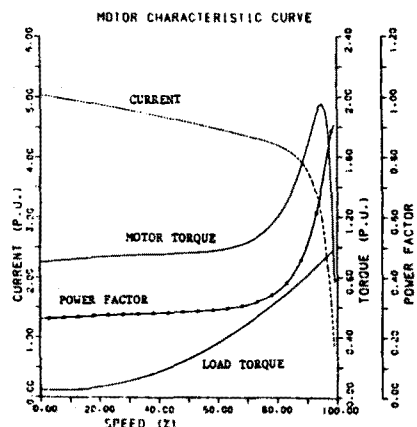


그림5. 전동기 및 전동기부하의 특성곡선

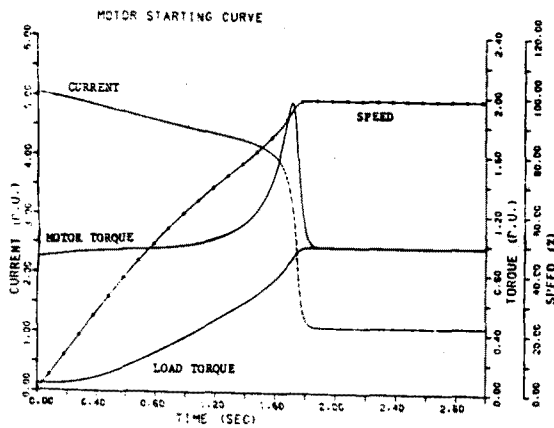


그림6. 전동기 가동곡선

각 모델에 포함된 미분방정식을 해석하기 위하여 Taylor 급수의 2차 미분항을 2개의 1차 미분항으로.

바꾸어 사용하는 식4의 Trapezoidal Predictor

법을 사용하였으며, 본 프로그램에서 사용한 신체 계산 알고리즘은 식5, 식6과 같다.

$$X_n = X_{n-1} + \frac{h}{2} (3X_{n-1} - X_{n-2}) \quad \dots \text{식4}$$

$$\hat{X}_n = \hat{X}_{n-1} + h \hat{X}_{n-1} \quad \dots \text{식5}$$

$$\underline{X}_n = \hat{X}_n + \frac{h}{2} \hat{X}_{n-1} \quad \dots \text{식6}$$

식5, 식6의  $h$ 는 계산 Step( $\Delta T$ )을 의미하며, 전동기의 기계적 시정수가 일반적으로 0.01초.

정도로 짧기 때문에<sup>2)</sup> 본 모의 계통 해석에서는 계산 Step을 0.001초로 하였다.

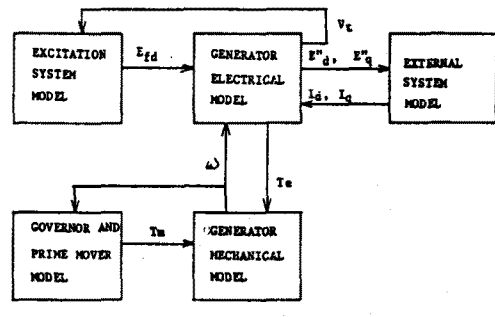


그림7. 전체계통 구성도

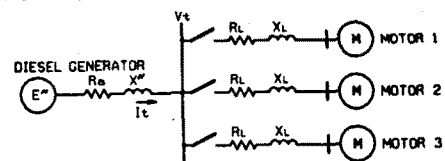
### 3. 모의계통에서의 디젤발전기 동특성 분석

모의비상전원계통의 단선도는 그림8과 같다.

전동기 1, 전동기 2, 전동기 3을 순차적(0초, 5초, 10초)으로 기동시켰을 때의 발전기 A,B,C의

단자전압( $v_t$ )의 변화는 그림9와 같다.

전동기의 가속 상에는 그림10과 같다.  
발전기 A는 각 전동기 기동 시 80% 이상의 전압을 유지하였으며 발전기 B는 70%까지 전압이 떨어졌으나 고속 응답 여자기 계통에 의해 즉시 전압이 회복되었다. 그러나, 발전기 C의 경우 고속 응답 여자기 계통이 사용되었으나 전동기 3의 기동에 실패하였다.  
발전기 A의 여자기 계통 및 조속기 계통의 쟁여 특성은 각각 그림11, 그림12와 같다.



$$R_L = 0.004 \quad X_L = 0.004 \text{ on Motor MVA base}$$

그림8. 비상전원계통의 단선도

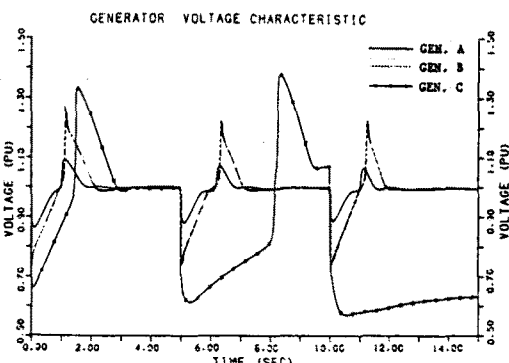


그림9. 각 발전기의 단자전압

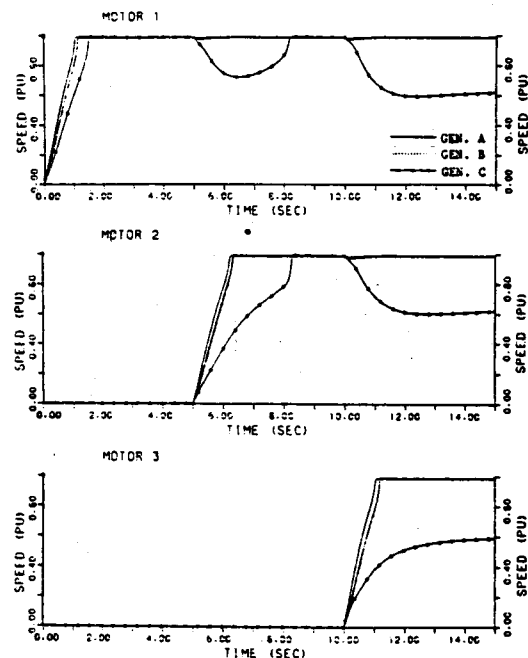


그림 10. 각 전동기의 회전속도

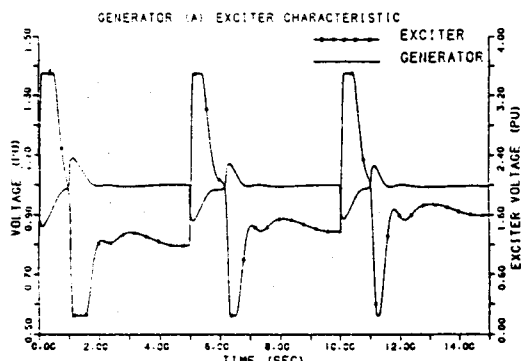


그림 11. 여자기 계통의 제어특성

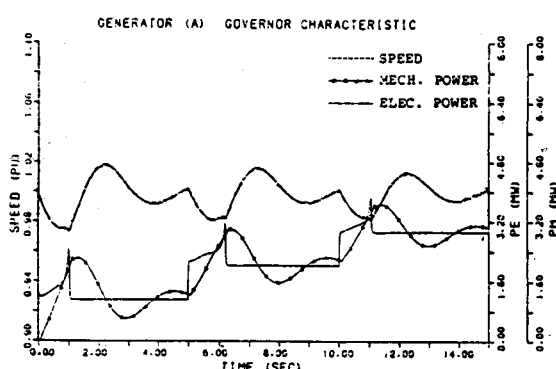


그림 12. 조속기 계통의 제어특성

#### 4. 결 론

검토 결과 같은 용량, 동일한 특성의 제어계통을 갖춘 발전기라도 발전기 특성에 따라 전동기 기동과 같은 과정상에서의 전압 유지능력은 각기 다르게 나타났으며, 특히 과도리 액티브(X'd)와 관성정수(H)에 따라 크게 좌우된다. 모의 계통을 대상으로 해석한 결과, X'd가 가장적고 H는 가장큰 A발전기가 특성이 가장 우수한 것으로 나타났다.

본 논문은 동색 안정도 프로그램으로 대용량 유도전동기 기동시의 비상용 디젤발전기의 동특성을 정확히 분석할 수 있음을 보여주었다.

#### \* 참 고 문 헌 \*

- Anderson and Fouad, "Power System Control and Stability", The Iowa State University Press, 1977.
- John D. Plaxco 외, "Evaluation of Diesel - driven Generators for Starting an Isolated System of Motor -driven Equipment", IEEE Trans. PAS-92, PP.330-335, Jan/Feb 1973.
- L.N. Hannett 외, "Validation of Nuclear Plant Auxiliary Power Supply by Test", IEEE Trans. PAS-101, PP.3068 - 3074, Sep. 1982.
- PSS/E Program Application Guide, Power Technologies Inc.